



## بررسی ژئوشیمی دگرسانیهای گرمابی مرتبط با کانی‌سازی طلای اپی‌ترمالی در ناحیه مسجدداغی، شرق جلفا، شمال باخته ایران

علی امامعلی‌پور<sup>۱</sup>، حسین عبدالی‌اسلاملو<sup>۲</sup>، بهزاد حاج‌علیلو<sup>۲</sup>

۱- گروه مهندسی معدن، دانشگاه ارومیه

۲- گروه زمین‌شناسی دانشگاه پیام نور، مرکز تبریز

دریافت مقاله: ۱۳۸۸/۹/۱۵، نسخه نهایی ۲/۳

### چکیده

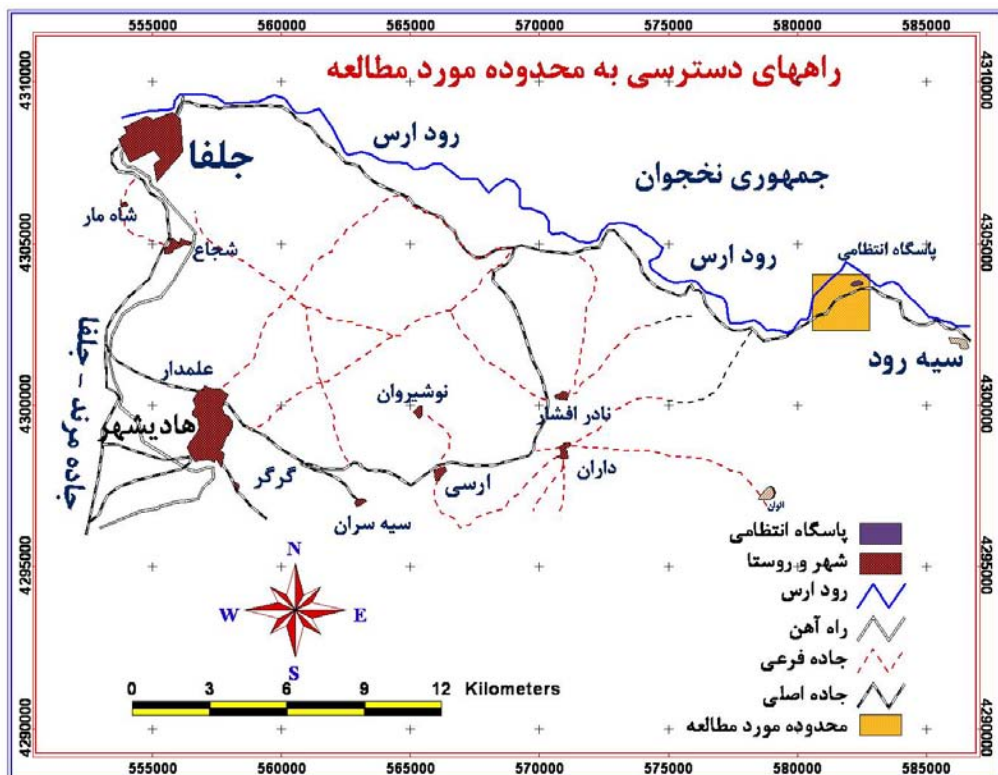
در ناحیه مسجدداغی، دو نوع کانی‌سازی مس پورفیری-طلای اپی‌ترمالی در پیوند با یک مجموعه آذرین آتشفسناني-نفوذی حدودست روی داده است. انواع دگرسانیهای سیلیسی، آرژیلیک پیشرفت، آرژیلیک حدودست و پروپیلیتیک در ارتباط با کانی‌سازی اپی‌ترمالی شناخته شده‌اند که حالت منطقه‌ای دارند. بررسی تغییرات جرمی عناصر با استفاده از عنصر Zr به عنوان عنصر بی‌تحرک ناظر، گویای غنی‌شدگی  $\text{SiO}_2$  و تا حدودی  $\text{K}_2\text{O}$  و  $\text{Al}_2\text{O}_3$ ،  $\text{Na}_2\text{O}$ ،  $\text{CaO}$  و  $\text{MgO}$  در زون دگرسانی سیلیسی است. عناصر  $\text{Sr}$ ,  $\text{Pb}$ ,  $\text{SO}_3$ ,  $\text{Al}_2\text{O}_3$ ,  $\text{SiO}_2$ ,  $\text{K}_2\text{O}$  و  $\text{Cu}$  نیز دارای غنی‌شدگی هستند. زون دگرسانی آرژیلیک پیشرفت، در اکسیدهای اصلی  $\text{O}$ ,  $\text{As}$ ,  $\text{Rb}$ ,  $\text{Ba}$  و  $\text{Zn}$  و  $\text{Sr}$ ,  $\text{Cu}$ ,  $\text{Fe}_2\text{O}_3$ ,  $\text{CaO}$  و  $\text{MnO}$  و  $\text{Na}_2\text{O}$  غنی‌شدگی نشان می‌دهند. در این زون  $\text{L.O.I}$  و  $\text{MgO}$  غنی‌شدگی و در نظر اکسیدهای  $\text{CaO}$ ,  $\text{MgO}$ ,  $\text{SiO}_2$  و  $\text{L.O.I}$  غنی‌شدگی و در اکسیدهای  $\text{Na}_2\text{O}$  و  $\text{K}_2\text{O}$  تهی‌شدگی یافته‌اند. زون پروپیلیتیک از نظر اکسیدهای  $\text{CaO}$  و  $\text{MgO}$  غنی‌شدگی و در سنگ اولیه، و نشان می‌دهد. شواهد ژئوشیمیایی و کانی‌شناسی نشان می‌دهند که آب‌شویی گرمایی فلدسپارها و کانیهای مافیک در سنگ اولیه، و تشکیل تجمعات کوارتز، کائولینیت، پیریت، باریت، آلونیت و سرسیت در زون آرژیلیک پیشرفت و تجمعات کلریت، اپیدوت و کلسیت در زون پروپیلیتیک، مسؤول ایجاد تغییرات شیمیایی یاد شده است. به نظر می‌رسد افزایش و کاهش عناصر توسط عواملی نظیر ترکیب شیمیایی محلولهای گرمابی، تغییرات دما و نسبت سنگ/آب کنترل شده است. شاخصهای دگرسانی CIA و MIA در سنگهای دگرسان، نشانگر بالا بودن شدت دگرسانیها در زونهای سیلیسی و آرژیلیک پیشرفت در مقایسه با زون پروپیلیتیک است.

واژه‌های کلیدی: ژئوشیمی، دگرسانی، اپی‌ترمال، تغییرات جرمی، مسجدداغی، جلفا.

ناحیه، بخشی از زون فلزی ارسباران (اهر) را تشکیل می‌دهد<sup>[۳]</sup>. زون فلزی ارسباران در شمال باخته کشور واقع شده و نواحی اهر، کلیبر، ورزقان و سیه رود را در بر می‌گیرد. این محدوده در سال ۱۳۷۹ شناسایی شد و از سال ۱۳۷۹ تا ۱۳۸۴ از سوی طرح اکتشاف سراسری وابسته به سازمان زمین‌شناسی و اکتشافات معدنی کشور تحت پوشش عملیات اکتشافی قرار گرفت. عملیات اکتشافی گسترده‌ای در سالهای اخیر توسط شرکت ملی صنایع مس ایران در این ناحیه برای اکتشاف مس پورفیری شروع شده و در حال حاضر نیز حفاری

<sup>۱</sup> مسؤول مکاتبات a.imamalipour@urmia.ac.ir

مقدمه  
منطقه کانه‌دار مسجدداغی مشتمل بر کانی‌سازیهای مس پورفیری-طلای اپی‌ترمالی، در ۳۵ کیلومتری شرق جلفا (استان آذربایجان شرقی) به مختصات جغرافیایی "۰۳°۵۷'، ۴۵°۰۰'، ۰۷°۵۲'، ۳۸°۰۰'، ۰۷°۴۵' طول شرقی و ۴۴°۵۲'، ۳۸°۰۰' عرض شمالی واقع است(شکل ۱). از نظر زمین‌شناسی ناحیه‌ای، منطقه مورد بررسی در شمال باخته واحد زمین‌ساختی البرز - آذربایجان (در تقسیم بندی [۱]) و پهنه ایران میانی (در تقسیم بندی [۲]) قرار گرفته است. این



شکل ۱. موقعیت جغرافیایی کانسال مس پورفیری- طلای اپی ترمالی مسجدداغی.

سنگهای آذرآواری وابسته به آنها تزریق شده است. یکسری دایکهای آندزیتی تأخیری نیز این مجموعه را قطع می‌کنند [۵] و [۶]. شکل ۲، واحدهای سنگی منطقه مسجدداغی را نشان می‌دهد.

کانی‌سازی و دگرسانیهای همراه آن در دو سیستم پورفیری (تیپ دیوریتی) و طلای اپی ترمالی در این سنگها روی داده است [۴]. کانی‌سازی اپی ترمالی حالت تأخیری داشته و به صورت رگه‌های کانه‌دار سنگهای آتشفسانی را با راستای تقریباً خاوری - باختری بریده‌اند [۴].

بر اساس بررسی ژئوشیمیایی، سنگهای منطقه در محدوده کالک آلکالن با پاتسیم متوسط تا بالا و بر اساس نمودار دو متغیره  $\text{Y}+\text{Nb}-\text{Rb}$  سنگهای منطقه در محدوده گرانیتوبندی‌های کمان آتشفسانی قرار می‌گیرند. محیط تکتونیکی سنگهای پتاسیک منطقه با استفاده از نمودارهای خاص سنگهای پتاسیک پیشنهادی، مرتبط با قوس می‌باشد [۵].

فرآیندهای دگرسانی معمولاً در ارتباط بسیار نزدیک با کانی‌سازی گرمابی و در واقع بخشی از آن هستند. مطالعه زونهای مختلف دگرسانی، از آن جا که بهترین نشانگر محل

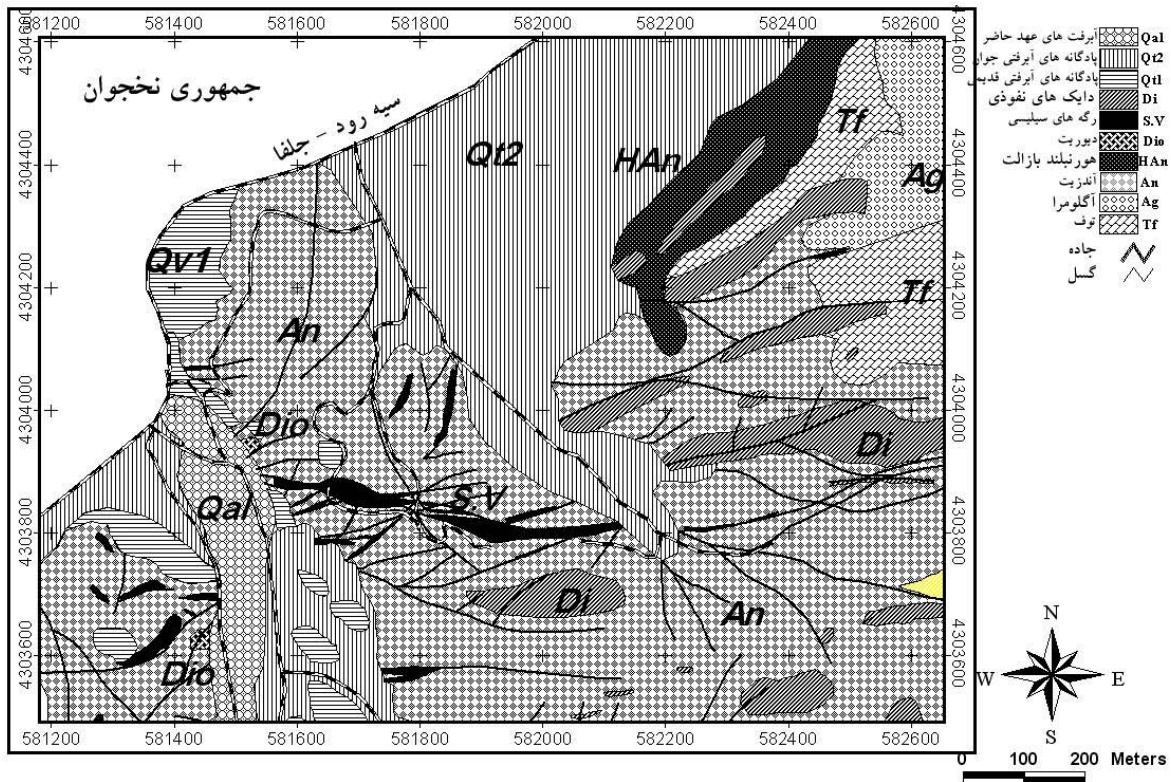
گمانه‌ها ادامه دارد. بر اساس اطلاعات حاصل از حفر ۱۲ ترانشه و ۱۰ گمانه اکتشافی برای این رگه ذخیره‌ای حدود ۱/۲ تن با عیار میانگین ۲ گرم در تن محاسبه شده است و می‌تواند دارای ارزش معدن کاری باشد [۴].

از نظر زمین‌شناسی در منطقه مسجدداغی توالیهایی از سنگهای تخریبی (فیلیش) ائوسن به همراه سنگهای آذرین درونی و بیرونی ائوسن - الیگوسن دیده می‌شود. مهمترین رویداد پلوتونیکی ناحیه که غالب کانی‌سازیهای فلزی در ارتباط با آن می‌باشد، توده نفوذی قره‌داغ واقع در خاور منطقه کانه‌دار مسجد داغی است. با توجه به تنوع واحدهای آتشفسانی و نفوذی، نحوه استقرار و ارتباط آنها به نظر می‌رسد مجموعه مسجدداغی یک آتشفسان چینهای و یا آتشفسان مرکب قدیمی به سن ائوسن - الیگوسن است [۴]. روندهای عمده ساختمانی اعم از صفحه محوری چینهای یا امتداد گسلها در این ناحیه تقریباً شمال غرب - جنوب شرق هستند.

واحدهای سنگی این ناحیه به طور عمده شامل توده نفوذی کم‌زرفا با ترکیب سنگ‌شناسی دیوریت پورفیری است که به درون سنگهای آتشفسانی نوع آندزیتی - تراکی آندزیتی و

دگرسانیهای مرتبط با سیستم پورفیری ناحیه مسجدداغی پیش از این توسط برخی پژوهشگران مورد بررسی قرار گرفته است، در این پژوهش ژئوشیمی دگرسانی گرمابی مرتبط با کانی سازی اپیترمالی مورد توجه قرار می‌گیرد.

کانی سازی هستند، در انجام کارهای اکتشافی بسیار مهم و تأثیرگذارند. در زونهای دگرسانی که همراه با کانی سازی گرمابی هستند، غنی‌شدگی و فقیرشدگی عناصر نسبت به سنگ میزبان دگرسان نشده سنجیده می‌شود [۷].



شکل ۲. نقشه زمین شناسی محدوده کانه‌دار مسجدداغی، اقتباس [۴].

قرار گرفت. تعداد ۱۰ نمونه از زونهای مختلف دگرسانی سیلیسی، آرژیلیک پیشرفت، آرژیلیک حد واسط و پروپلیتیک، و نیز سنگهای سالم و دگرسان نشده (۲ نمونه) برداشت و به روش XRF برای اکسیدهای اصلی و برخی از عناصر کمیاب (آنالیز ۳۴ عنصری) تجزیه شیمیایی شدند. در این بررسیها، از نتایج تجزیه ۲۷ عنصر استفاده شده است (جدول ۱). در انتخاب سنگهای سالم، فاصله مکانی آنها نسبت به مناطق کانه‌دار و دگرسانی مورد توجه قرار گرفت و با مطالعه میکروسکوپی از دگرسان نبودن آنها اطمینان حاصل شد. خطای آزمایشگاهی در تجزیه شیمیایی نمونه‌ها (بر پایه تعداد ۳ نمونه کنترلی) برای اکسیدهای اصلی کمتر از ۵ درصد و برای عناصر کمیاب در دامنه ۸-۵ درصد به دست آمد.

#### روش مطالعه

در این پژوهش، با بهره گیری از دانسته‌های پیشین در مورد منطقه کانه‌دار مسجدداغی، به منظور بررسی ژئوشیمی دگرسانیهای مرتبط با کانی سازی، از مناطق دگرسانی مختلف نمونه‌برداری انجام گرفت. از آن جا که هدف از این بررسیها، پرداختن به دگرسانیهای مرتبط با کانی سازی اپیترمالی (رگه‌ای) بود، زونهای دگرسانی عمقی مرتبط با سیستم پورفیری که بر اساس گمانه‌های اکتشافی شناسایی شده‌اند، مورد توجه قرار گرفته است. ترکیب کانی شناسایی سنگهای دگرسان به روشهای سنگ‌نگاری میکروسکوپی (۲۵ نمونه) و پراش اشعه ایکس (XRD) (۱۵ نمونه) مورد بررسی

جدول ۱. نتایج تجزیه‌های شیمیایی نمونه‌های انتخابی از زونهای دگرسانی و سنگهای دگرسان نشده

Sample	TR6	TR7	TR28	TR5-6	TR5-4	V1	TR39	TR38-1	TR38-2	TR5-5	TR5-7
<i>Wt %</i>											
SiO <sub>2</sub>	95.20	68.6	57.24	57.50	66.44	69.28	58.33	58.71	58.24	61.07	62.12
Al <sub>2</sub> O <sub>3</sub>	0.84	19.53	27.32	15.68	13.25	14.85	14.38	14.08	13.25	15.52	15.24
Fe <sub>2</sub> O <sub>3</sub>	0.80	2.34	3.23	6.83	5.36	2.48	4.83	4.91	6.30	5.63	6.20
CaO	0.09	0.13	0.35	4.24	1.39	2.49	6.02	6.35	7.17	3.02	3.27
Na <sub>2</sub> O	0.06	0.05	1.19	3.32	3.63	3.47	2.98	1.66	2.65	4.75	4.32
K <sub>2</sub> O	0.09	3.18	1.90	1.97	1.45	2.35	1.43	3.68	1.77	2.47	2.86
MgO	0.05	0.89	3.18	4.85	1.76	1.53	5.15	4.05	4.50	2.79	2.45
TiO <sub>2</sub>	0.01	0.231	0.449	0.551	0.388	0.266	0.388	0.457	0.733	0.412	0.255
MnO	0.02	0.12	0.026	0.131	0.262	0.034	0.262	0.138	0.176	0.034	0.10
SO <sub>3</sub>	0.02	0.87	0.31	0.003	0.086	0.143	0.345	0.143	0.023	0.143	0.105
L.O.I	0.85	3.23	4.45	3.56	5.75	3.62	5.39	5.60	4.96	3.41	2.80
<i>ppm</i>											
Ba	10000	4448	144	1347	2212	1687	2212	2098	2714	1706	1095
Sr	957	1058	320	998	1150	865	1150	1014	2004	1090	998
Cu	421	79	160	7998	49	58	60	97	71	382	125
Zn	252	15	19	263	65	69	136	85	127	102	85
Pb	820	128	22	32	42	35	13	20	24	25	32
V	8.0	78	19	150	45	49	108	116	24	111	95
Ce	2.5	62	44	42	34	38	18	56	165	38	32
La	1.3	29	29	20	21	19	16	27	72	21	19
Nb	0.2	2	2	5	5	6	20	17	30	24	22
Zr	20	154	136	156	192	199	156	199	158	201	198
Y	0.5	27	25	21	19	23	18	24	24	20	18
Rb	3	131	73	59	85	97	45	90	85	71	65
Co	0.5	3	9	19	5	4	9	2	15	7	9
Ni	4	4	2	94	5	7	10	14	48	38	25
As	1	816	26	7	7	5	2	9	30	35	28
Total	97.80	99.73	99.69	99.63	100.11	100.67	99.67	100.09	100.24	100.78	99.98

## بحث و بررسی

## ماهیت کانی‌سازی و انواع دگرسانیها

گمانه‌ها قابل تطابق نیست. با فاصله گرفتن از مرکز کانی‌سازی پورفیری حجم برشها افزایش یافته و در واقع رگه‌های کانی‌سازی شده طلای اپی‌ترمال اغلب منطبق بر مناطق برشی شده می‌باشند<sup>[۴]</sup>. رگه‌های اپی‌ترمال با مقادیر بالای کانی‌سازی پورفیری As, Zn, Pb و Au مشخص می‌گردند که با مجموعه عناصر کانی‌سازی پورفیری Mo و Cu متفاوتند. در مناطق همپوشانی دو سیستم عیار As و Au در زون پورفیری افزایش می‌یابد<sup>[۴]</sup>.

چهار نوع دگرسانی سیلیسی، آرژیلیک پیشرفت، آرژیلیک و سرسیتیک در گستره مسجدداغی قابل تشخیص است. افزون بر آن دگرسانی پتاسیک (نوع بیوتیت) در مغزه‌های حفاری شناسایی شده که با کانی‌سازی پورفیری عمقی در ارتباط است. دگرسانیهای منطقه متأثر از انواع مرتبط با کانی‌سازی پورفیری و دگرسانی تأخیری مربوط به کانی‌سازی اپی‌ترمالی هستند. اثرات روی هم افتدن (Overprinting) فاز دگرسانی تأخیری بر روی فاز دگرسانی پیشین به چشم می‌خورد. از میان دگرسانیهای یاد شده به نظر می‌رسد که انواع سیلیسی، آرژیلیک پیشرفت و آرژیلیک بیشترین ارتباط را با کانی‌سازی اپی‌ترمالی داشته باشند. دگرسانی همراه با کانی‌سازی اپی‌ترمالی طلداری منطقه‌بندی است و از مرکز (دگرسانی سیلیسی مرکزی) به سمت حاشیه با دور شدن از منبع حرارتی، دگرسانیهای آرژیلیک پیشرفت، آرژیلیک حدواسط و پروپلیتیک (کلربیتی) قراردارند. به نظر می‌رسد که دگرسانی پروپلیتیک که در گستره وسیعی سنگها را تحت تأثیر قرارداده است، با کانی‌سازی پورفیری مرتبط با استوک پورفیری واقع در عمق در ارتباط باشد.

زون دگرسانی سیلیسی از شاخص‌ترین دگرسانیهای منطقه است که به صورت رگه‌ها و رگه‌های فراوان در متن سنگ میزبان آندزیتی در ارتباط با کانی‌سازی محدوده مشخص می‌باشد. بافت‌های شاخص در این دگرسانی شامل پرشدگی فضاهای باز، برشی (نشان‌دهنده طبیعت انفجاری سیال هیدرоторمالی و احتمالاً به واسطه جوشش)، کوکاد (تاج خروسی)، موزاییکی و نواربندی پوسته‌ای (اثر رسوب-گذاری بی‌درپی کانیها از دیواره) و بافت حفره‌ای (Vuggy Silica) است که نشان‌دهنده شرایط تشکیل در دما و فشار نسبتاً پایین و شرایط جوشش است<sup>[۸] و [۹]</sup> (شکل ۳-ث و چ). این فرآیند، نتیجه آب‌شوبی بسیاری از اجزای سنگ از

در منطقه مسجدداغی در بخش فوقانی سیستم پورفیری، ذخیره طلای اپی‌ترمال نوع سولفیداسیون بالا حضور دارد<sup>[۵]</sup>. این کانی‌سازی بیشترین گسترش سطحی را در میان کانی‌سازیها داشته و به صورت زونهایی از سنگهای سیلیسی شده، رگه‌های کوارتزی و استوکورکهای سیلیس با ضخامت و طولهای بسیار متنوع دیده می‌شود. تعداد ۴ رگه کانه‌دار در این محدوده مورد اکتشاف قرار گرفته است. طول بزرگترین رگه حدود ۷۰۰ متر و پهنای آن در برخی قسمتها به ۱۰ متر و حتی بیشتر می‌رسد، ولی ضخامت واقعی آن بر اساس حفاریهای اکتشافی ۵ متر به دست آمده است<sup>[۴]</sup> (شکل ۲). رگه‌های کانه‌دار به دلیل حضور رگه‌های کوارتزی و زونهای سیلیسی برجسته‌تر از سنگهای درون‌گیر دیده می‌شوند (شکل ۳-الف). ترکیب کانی‌شناسی این رگه‌ها عموماً کوارتز ± باریت با مقادیر بسیار اندکی سولفید (پیریت، کالکوپیریت، اسفالریت و گالن) است. کانی‌سازی به شدت تحت کنتrol ساختارها و گسلها بوده و همزمانی مکانی و زمانی را با دگرسانی سیلیس بازماندی نشان می‌دهد. طلا که در این تیپ کانی‌سازی با کوارتز حضور دارد عیاری تا ۵ ppm را نشان می‌دهد اما عیار میانگین رگه اصلی کانی‌سازی ۲ گرم در تن گزارش شده است<sup>[۴]</sup>. شواهد زیر، دال بر رخداد کانه‌زایی اپی‌ترمالی نوع سولفیداسیون بالا در این منطقه است<sup>[۵]</sup>:

- همراهی با سنگهای آتشفسانی آندزیت و توده‌های نفوذی کم‌زرفای دیوریت پورفیری.

- حضور دگرسانیهای فراگیر سیلیسی، آرژیلیک پیشرفت، درون‌زاد همراه با آلونیت.

- حضور سیلیس با بافت‌های شاخص پرشدگی فضاهای خالی، رگه‌ای و حفره‌ای (شکلهای ۳-ث و چ).

- دمای به دست آمده از حرارت سنجی میانبارهای سیال نشان داده که دمای کانی‌سازی (رگه ای) بین ۲۴۰ تا ۲۸۰ درجه سانتی گراد، و شوری متوسط آن کمتر از ۱۰ درصد وزنی معادل کلرور سدیم بوده است<sup>[۵]</sup>.

- کانی‌سازی اپی‌ترمال در منطقه مسجدداغی طبیعتی بسیار انفجاری داشته و انواع مختلف برشها، برشهای فریتوماگماتیک و برشهای هیدرоторمال را ایجاد نموده است(شکل ۳-ت)، که نظم خاصی نداشته و اغلب در

به کانیهای رسی، مقادیر زیادی سیلیس در متن سنگ آزاد شده است. این زون در بیشتر قسمتها همراه اکسیدهای آهن مانند است. به همین لحاظ رخنمون این زون دگرسانی در بیشتر نواحی قرمز رنگ تا تیره است. در رخنمونهای صحرائی، زون آژیلیک پیشرفته در مجاورت زون سیلیسی کانه‌دار و در ترانشهای موجود در محدوده قابل روئیت است (شکل ۳-پ)، اگرچه در بیشتر موارد، مرز بین این دو زون تدریجی بوده و قابل تشخیص یا نقشه‌برداری نیست.

جمله Al توسط سیال هیپوزن اسید هیدروکلریک- سولفوریک با pH بسیار پایین است. این آب‌شویی یک بازمانده سیلیسی بر جای می‌گذارد که کوارتز گاهی با بافت حفره‌ای (Vuggy) تبلور دوباره می‌یابد و همچنین می‌تواند دگرسانی آژیلیک پیشرفته را ایجاد کند [۱۰]. حضور رگه‌های سیلیسی و گاهی کوارتز با بافت حفره‌ای در منطقه می‌تواند تأییدی بر اسیدی بودن محلولها و  $\text{pH} < 2$  باشد. فازهای کریپتوکریستالین سیلیس نیز به فراوانی تشکیل شده‌اند. از سوی دیگر در طول این دگرسانی با تبدیل کانیهایی مثل پلازیوکلازها و فلدسپات‌ها



شکل ۳. رگه کانه‌دار اصلی با زون سیلیسی مرکزی و دگرسانیهای آژیلیک پیشرفته و آژیلیک پیرامون آن (الف)، استوکورک سیلیسی در زون آژیلیک پیشرفته (ب)، همراه بین زونهای سیلیسی و آژیلیک پیشرفته (پ)، برشهای گرمایی (فراتوماگماتیک) در زون سیلیسی حاوی طلا (ت)، سیلیس با بافت حفره‌ای در زون سیلیسی مرکزی، حاصل شست و شوی سنگ توسط محلولهای اسیدی (ث)، تصویر میکروسکوپی از سیلیس حفره‌ای، حفرات خالی ایجاد شده ناشی از تخریب پلازیوکلازها، و (نور پلاریزه، بزرگنمایی ۴۰ برابر).

آرژیلیک حجم بیشتری از منطقه دگرسانی را پیرامون زون سیلیسی مرکزی تشکیل می‌دهند، نمونه‌های مورد استفاده در این نمونه‌ها به این دگرسانیها تعلق دارند. نمودار نسبت اندیس سرسیتی شدن به  $\text{CaO}$  (شکل ۷)، نشانگر افزایش  $\text{K}_2\text{O}$  در سنگهای دگرسان شده است، در مقابل مقادیر  $\text{CaO}$  در سنگهای غیر دگرسان (یا با دگرسانی اندک) بالاست. تخریب پلازیوکلازها در سنگهای دگرسان و تشکیل سرسیت و کانیهای رسی می‌تواند مسؤول تغییرات یاد شده باشد. فروشست شدید  $\text{CaO}$  در نمونه‌های دگرسان شده مشخص می‌باشد (مقادیر  $\text{CaO}$  پایین است). یک نمونه از سنگهای دگرسان حاوی مقدار بالایی از  $\text{CaO}$  است که احتمالاً به دلیل تشکیل کانی ثانوی کلسیت در آن است. در نمودار نسبت اندیس سرسیتی شدن در مقابل ( $\text{Na}_2\text{O} + \text{K}_2\text{O}$ ) (شکل ۶)، مقدار این اندیس بالاست که گویای افزایش نسبی  $\text{O}$  در برابر مجموع ( $\text{Na}_2\text{O} + \text{K}_2\text{O}$ ) است. این نکته همچنین می‌تواند بر فروشست شدید سدیم ( $\text{Na}_2\text{O} + \text{K}_2\text{O}$ ) دلالت کند. در نمونه‌های غیردگرسان مقدار ( $\text{Na}_2\text{O} + \text{K}_2\text{O}$ ) پایین نیست، از این رو کاهش مقدار سدیم در نمونه‌های دگرسان شده به دلیل فروشست آن است.

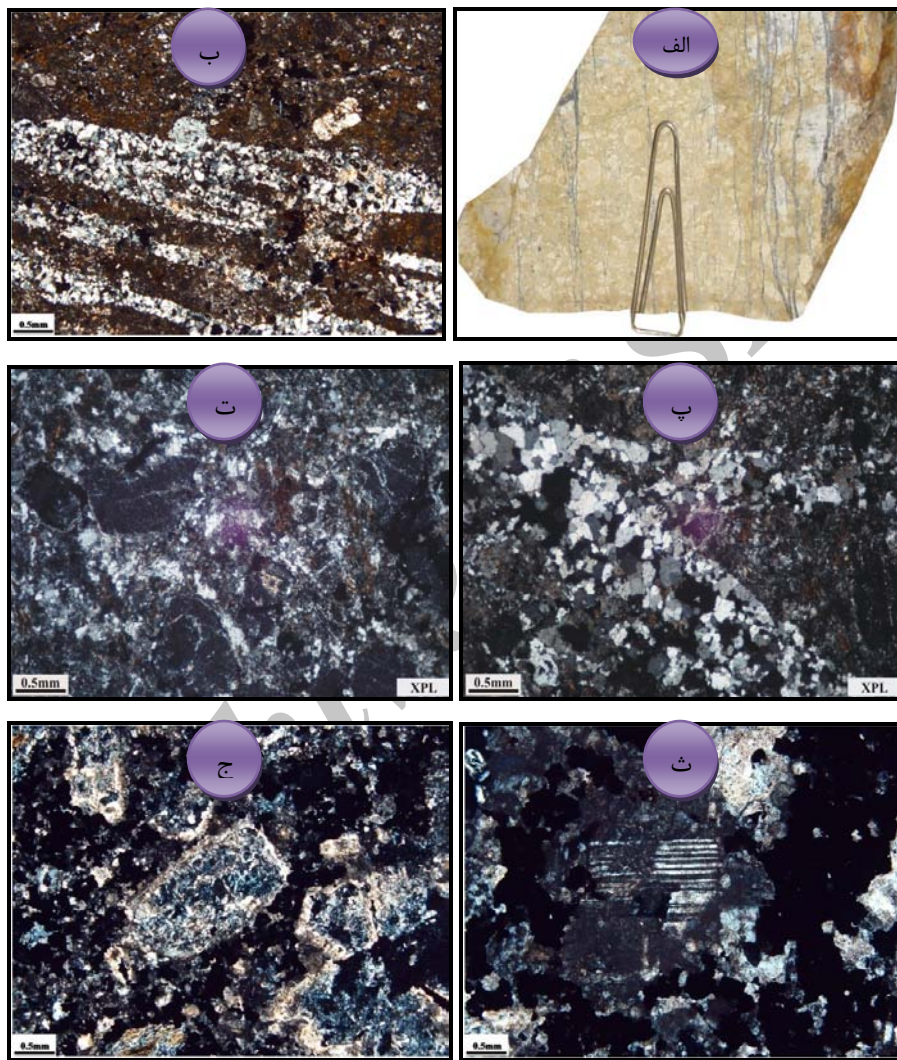
به منظور شناخت رفتار ژئوشیمیایی عناصر و فرآیندهای ژئوشیمیایی درگیر در حین دگرسانیهای گرمابی مرتبط با کانی‌سازی طلا در این منطقه از روش بررسی تغییرات جرم عناصر استفاده گردید. روابط جرم بین سنگ مادر و محصولات دگرسانی از طریق افزایش یا کاهش عناصر تعیین می‌شود. تحرك عناصر نتیجه‌ای از شکسته شدن کانیهای معین با پیشرفت دگرسانی و تمدنی آنها می‌باشد [۱۲]. در بازالتها و آندزیت‌ها مقادیر قابل توجهی از عناصر کمیاب در ترکیب کانیهای اولیه (مانند پلازیوکلاز و پیروکسن) وارد می‌شوند. عناصر کمیابی که در ساختار این کانیها جای گرفته‌اند، می‌توانند توزیع دوباره یابند یا از سیستم خارج شوند. حفظ عناصر کمیاب در زون دگرسان به تشکیل و پایداری کانیهای ثانویه که می‌توانند میزان این عناصر باشند، بستگی دارد. کانیهای ثانویه مانند رسهای، زئولیت‌ها، فسفات‌ها و اکسی/هیدروکسیدهای آهن محصولات رایج دگرسانی کانیهای اولیه هستند و می‌توانند حاوی عناصر کمیاب به عنوان اجزای اصلی یا فرعی باشند [۱۳]. روش‌های مختلفی برای محاسبه تغییر جرم عناصر در سیستمهای دگرسان، توسعه یافته که از آن جمله می‌توان به روش فاکتور حجم [۱۴]، روش ایزوکون [۱۵] و

در زون آرژیلیک پیشرفته بیشتر پلازیوکلازهای سنگها به طور کامل تبدیل به کانیهای رسی (کائولینیت) شده‌اند (شکلهای ۴-الف و ب). مطالعات میکروسکپی و نتایج پراش پرتو ایکس کانی‌شناسی این زون را به صورت مجموعه کوارتز، کائولینیت، باریت، آلونیت، تورمالین، پیریت و کائولینیت مشخص می‌کند؛ افزون بر آن، کانیهای سرسیت، هماتیت، ژیپس و گوگرد نیز کم و بیش حضور دارند. تورمالین اغلب در برشهای همراه با کوارتز زمینه یا سیمان برشی حضور دارد. حضور این کانی می‌تواند بر نقش سیالات اسیدی غنی از مواد فرار در کانی‌سازی دلالت کند. شکل ۵ نمودار پراش پرتو ایکس مربوط به یکی از نمونه‌های برداشته شده از این زون را نشان می‌دهد. دگرسانی آرژیلیک حدواتسط با دور شدن از رگه اصلی (مرکز زون کانه‌دار)، قابل مشاهده است. تبدیل فلذسپارها به کانیهای رسی (مونت موریلوبونیت و کائولینیت) فرآیند اصلی در این دگرسانی است، اگرچه کانیهای سرسیت، اپیدوت، کربناتها، کوارتز و پیریت نیز گاه تشکیل شده‌اند (شکلهای ۴-پ و ت). کانیهای اپک این زون شامل پیریت، گوتیت است. پیریت به صورت بلورهای شکل دار تا نیمه شکل دار ریز در متن سنگ پراکنده است. در بعضی قسمتها پیریت به گوتیت دگرسان شده است. دگرسانی پروپلیتیک، خارجی ترین زون دگرسانی مرتبط با کانی‌سازی اپیترمالی منطقه است، مرز این زون دگرسانی تدریجی و نامشخص است. پاراژنز کانیها شامل کلریت، اپیدوت و به مقدار کم سرسیت، رس و کانیهای سولفیدی است (شکلهای ۴-ث و ج). پلازیوکلازها به کلریت و به طور بخشی به کلریت، سرسیت، اپیدوت دگرسان شده‌است. سولفید غالب پیریت است که نسبت به سایر زونها از مقدار اندکی برخوردار است. به نظر می‌رسد که دگرسانی پروپلیتیک بیشتر با سیستم کانی‌سازی پورفیری عمقی در ارتباط باشد تا سیستم اپیترمالی تأخیری.

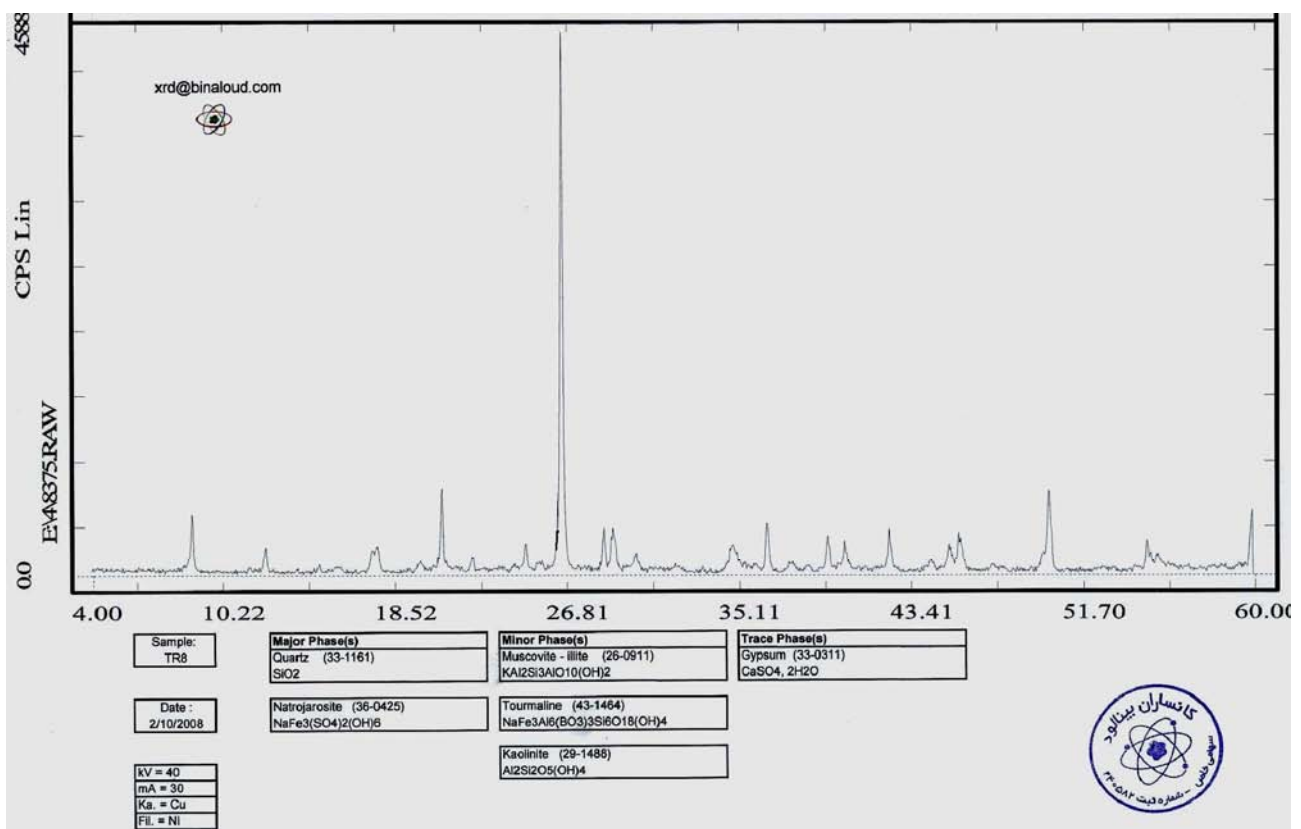
### ژئوشیمی دگرسانیهای گرمابی

برای تعیین قلمرو ژئوشیمیایی و جدایش سنگهای دگرسان از انواع دگرسان نشده (سنگهای سالم) یا کمتر دگرسان شده، از نمودار تغییرات عناصری مانند ( $\text{Na}_2\text{O} + \text{K}_2\text{O}$ ) و  $\text{CaO}$  در مقابل پارامتر ( $\text{K}_2\text{O} / \text{Na}_2\text{O} + \text{K}_2\text{O}$ ) که اصطلاحاً به اندیس سرسیتی معروف است [۱۱]، استفاده شده‌است (شکلهای ۶، ۷ و ۸). با توجه به این که دگرسانیهای آرژیلیک پیشرفته و

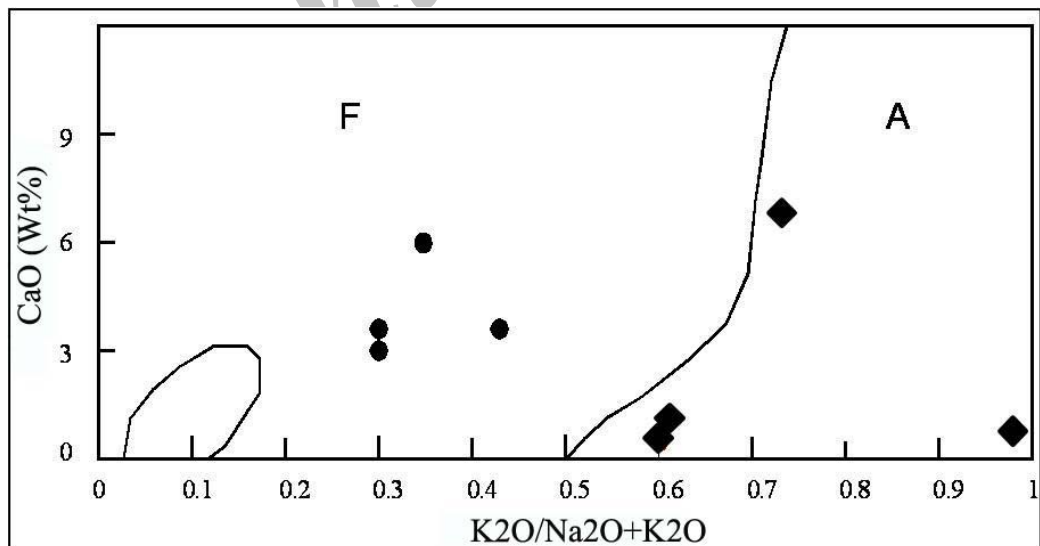
عنصری تحرک [۱۱]، [۱۶] و [۱۷] اشاره کرد. در این پژوهش از روش تغییرات جرم مک لین [۱۱] که بر اساس سه مؤلفه زیر بنا شده، استفاده شده است.



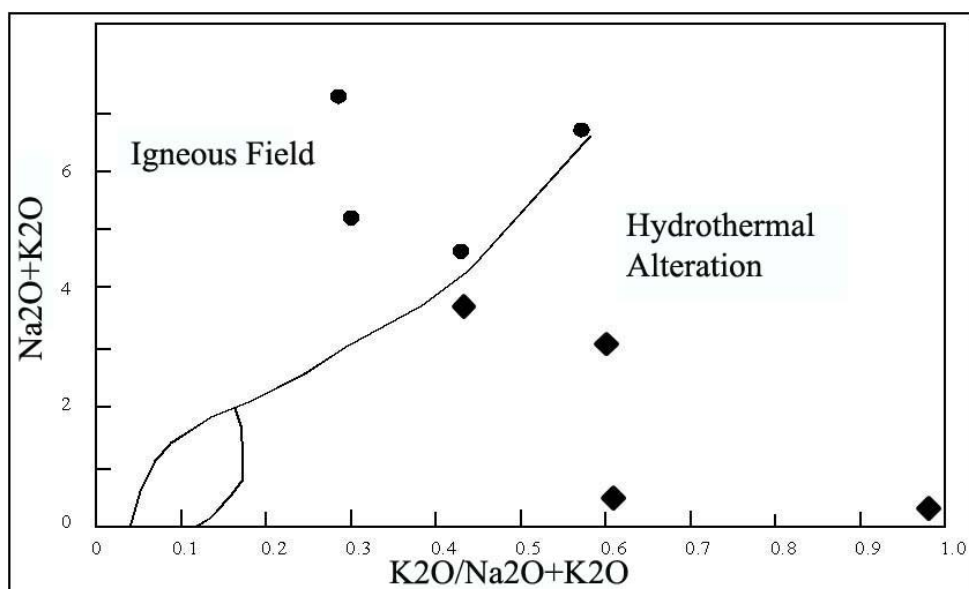
شکل ۴. دگرسانی آرژیلیک پیشرفته (جايگزيني كامل فنوکريستهای فلدسپارها آنها توسط کانيهای رسی و رگه های سيليسی) (الف)، تصویر میکروسکوپی شکل قبلی (جايگزيني رگه های سيليسی و کانيهای رسی در کانيهای اولیه سنگ) (ب)، تصاویر میکروسکوپی از نمونه برداشت شده از دگرسانی آرژیلیک (جايگزيني فلدسپارها توسط کانيهای رسی و رگه سيليسی) (پ و ت)، آلبیت ثانويه و همرشدی آن با اپیدوت و کلریت در زون دگرسانی پروپلیتیک(ت)، دگرسانی پروپلیتیک (کلریت نوع پنین، اپیدوت، کانيهای رسی، و مقدار قابل توجه کانيهای سولفیدی اغلب پیریت) (ج).



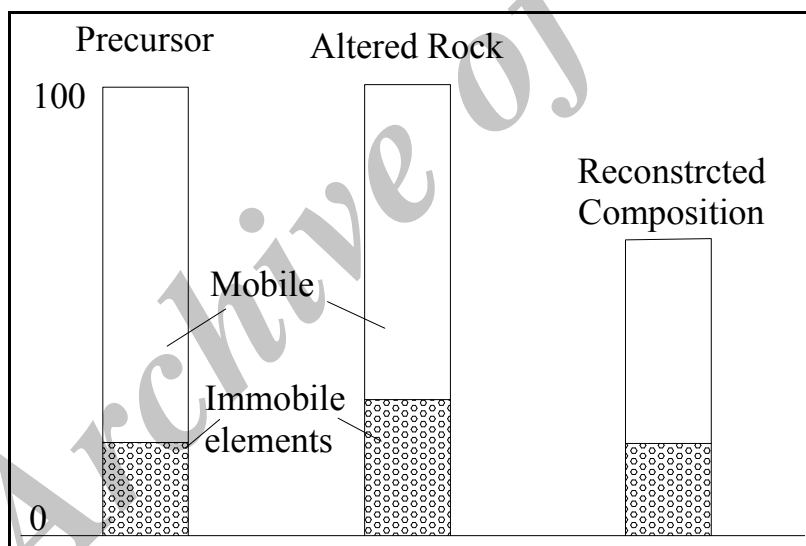
شکل ۵. نمودار پراش پرتو ایکس مربوط به یک نمونه برداشته شده از زون دگرسانی آرژیلیک پیشرفت‌هه.



شکل ۶. نمودار نسبت اندیس سرسیتی شدن در مقابل (CaO) در نمونه‌های مربوط به زون آرژیلیک (مربع در محدوده A) و غیردگرسان (دوایر مشکی در محدوده F) محدوده مورد مطالعه، نمودار از [۱۱].



شکل ۷. نمودار نسبت اندیس سرسیتی شدن در مقابل  $Na_2O+K_2O$ ، در نمونه‌های مربوط به زون آرژیلیک (مربع) و غیردگرسان (دوایر مشکی) محدوده مورد مطالعه، نمودار از [۱۱].



شکل ۸. ارتباط بین ترکیب بازسازی شده، ترکیب سنگ مادر و سنگ دگرسان [۴].

- فراوانی عنصر Zr Andesite : فراوانی عنصر Zr در سنگ میزبان آندزیتی  
 - فراوانی عنصر Zr Alteration Zone : فراوانی عنصر Zr در زونهای دگرسانی  
**۳- ترکیب بازسازی شده (Composition):** این مؤلفه منعکس کننده جرم واقعی از سنگ دگرسان شده است که از عناصر متحرک غنی یا تهی می‌شود و با استفاده از معادله زیر محاسبه می‌شود. مفهوم ترکیب بازسازی شده در شکل ۸ نشان داده شده است. ترکیب بازسازی شده سنگ دگرسان از طریق تغییر جرم عناصر بی‌تحرک در سنگ دگرسان نسبت به سنگ مادر محاسبه

۱- عنصر بی‌تحرک شاخص: عناصری مانند Al و Zr, Nb, Ti در طول فرآیندهای دگرسانی کم تحرکند [۱۱] و [۱۶]. در این پژوهش، از عنصر Zr به عنوان عنصر ناظر بی‌تحرک بر اساس فراوانی و رفتار یکسان در طول دگرسانی استفاده شده است.

۲- عامل غنی‌شدگی (Enrichment Factor): عامل غنی‌شدگی بر اساس مقادیر Zr در نمونه مربوط به سنگ میزبان آندزیتی-ترکی آندزیتی و زونهای مختلف دگرسان با استفاده از معادله زیر محاسبه می‌شود:

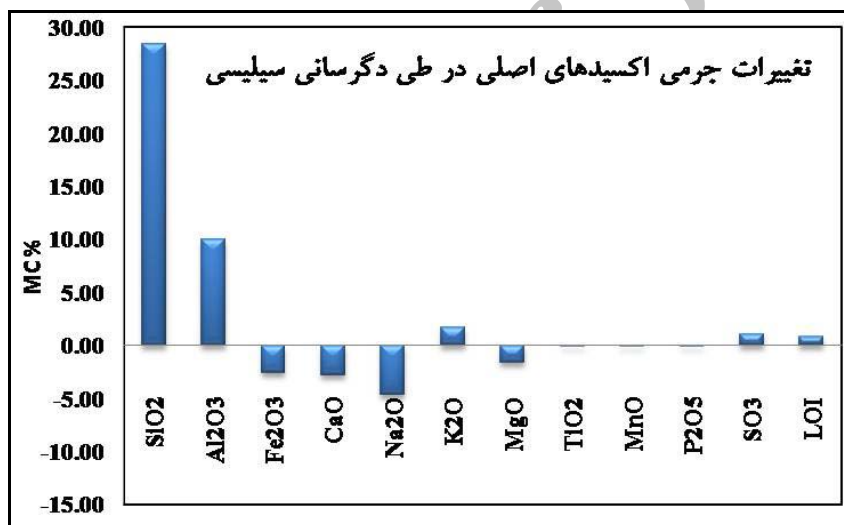
$$E.F. = Zr \text{ Andesite} / Zr \text{ Alteration Zone}$$

Rb, Cu و Sr دارای غنی‌شدگی هستند، به‌ویژه باریم که افزایش چشم‌گیری را در نشان می‌دهد (شکل ۱۰). این غنی‌شدگی با تشکیل باریت در رگه‌های سیلیسی محدوده همخوانی دارد. بررسی تغییرات عناصر جزیی Ni, Co, Cr و Zn بیانگر تهی‌شدگی عناصر این گروه و نیز آب‌شویی مس در زون سیلیسی است. عنصر As نیز دارای روند افزایشی است. غنی‌شدگی این عنصر می‌تواند با فرآیند کانی‌سازی طلا همراه باشد. اگرچه به دلیل در اختیار نبودن مقدار عنصر طلا در سنگ دگرسانی نشده اولیه، تغییرات جرمی آن در زون سیلیسی در شکل ۹ ارائه نشده است، بررسی توزیع عنصر این در زونهای دگرسانی نشان می‌دهد که این عنصر بیشترین تمرکز را در زون سیلیسی دارد و میانگین عیار آن به ۲ گرم در تن می‌رسد [۴].

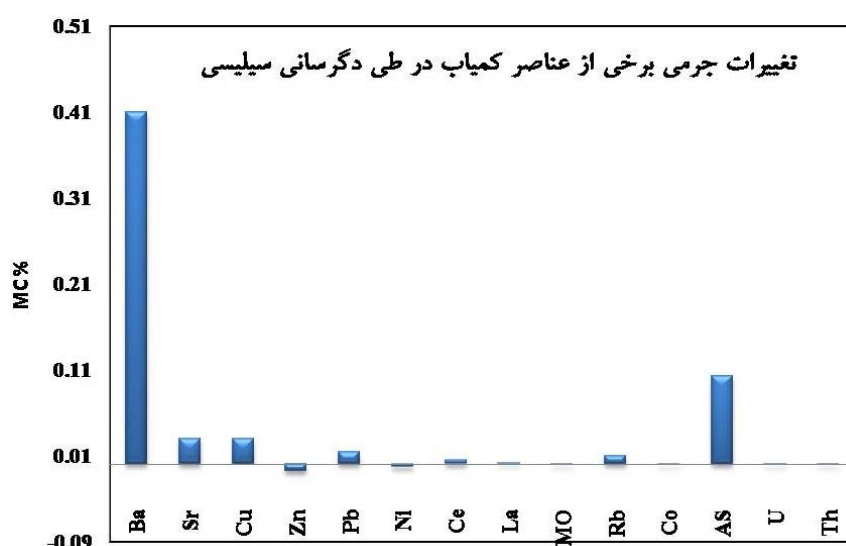
می‌شود. به عبارت دیگر کاهش عناصر متحرک در سنگ دگرسان، افزایش عناصر بی‌تحرک را باعث می‌شود.  
 $R.C = E.F. \times$   
 با بدست آوردن مؤلفه‌های بالا، تغییرات جرم اکسیدها و عناصر محاسبه شده است.

$$M.C = R.C.$$

فراآنی عنصر در سنگ مادر آندزیتی در زون دگرسانی سیلیسی، سنگ اولیه متحمل آب‌شویی کامل به وسیله سیالات فوق العاده اسیدی با  $pH < 3$  می‌شود [۱۸]. این سیالات، در طی دگرسانی سنگ بازماندی متخلخل با حدود ۹۵-۹۰ درصد  $SiO_4$  تولید می‌کنند. تغییرات جرمی عناصر اصلی و فرعی در این زون، غنی‌شدگی اکسید  $SiO_4$  و تهی‌شدگی سایر اکسیدهای  $Na_2O$ ,  $MgO$  و  $CaO$  را نشان می‌دهد (شکل ۹). عناصر فلزی ،



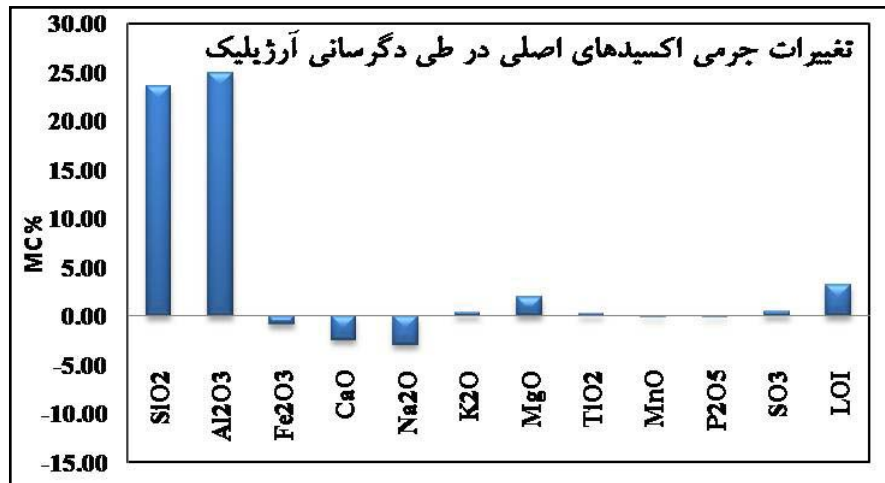
شکل ۹. تغییرات جرم اکسیدهای اصلی در زون دگرسانی سیلیسی نسبت به سنگ اولیه



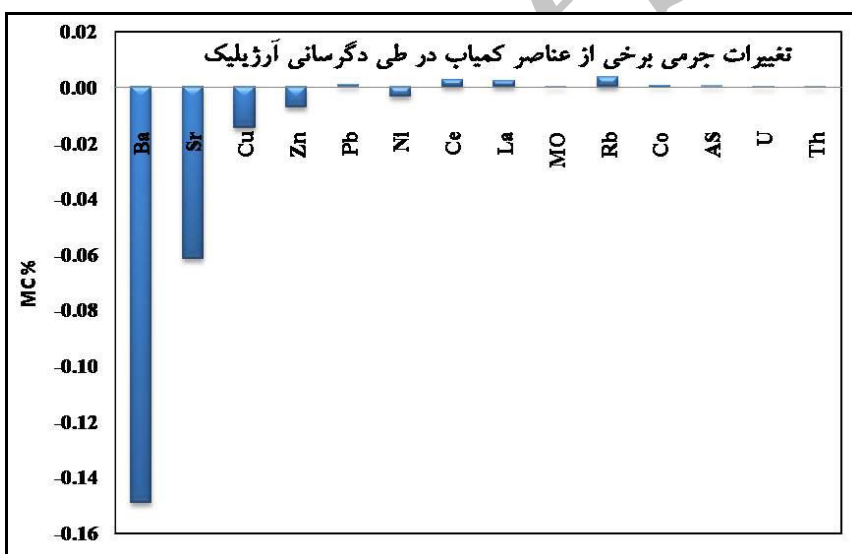
شکل ۱۰. تغییرات جرم برخی عناصر کمیاب در زون دگرسانی سیلیسی نسبت به سنگ اولیه

در میان عناصر کمیاب و نیز عناصر فلزی، عناصر Cu, Sr و Ba و نیز Zn دارای تهی شدگی هستند(شکل ۱۲). تهی شدگی مس و روی در محیط‌های دگرسانی به آب‌شویی کانیهای سولفیدی اولیه نسبت داده شده است [۲۰]. کاهش جرم این عناصر همچنین می‌تواند به واسطه دگرسانی کانیهای آمفیبول و بیوتیت که به طور جزیی حامل آنها هستند، شدت یابد. فروشست فلدسپارها (که معمولاً حامل کلسیم، باریم و استرانسیوم هستند) توسط سیالات اسیدی، احتمالاً سبب کاهش این عناصر در زون آرژیلیک پیشرفته شده است. به دلیل شباهت شعاع یونی Ca با Sr، این عنصر می‌تواند در ساختار کانیهای کلسیم‌دار مانند پلازیوکلازها جای‌گرفته باشد. افزایش جزئی Rb در ارتباط با افزایش جزئی K<sub>2</sub>O در این زون نیز می‌تواند به دلیل شکل کانیهای ثانویه آب‌دار بهویژه کانیهای رسی باشد. کاهش جرم می‌تواند به واسطه شرایط احیایی محلی بوده باشد که اجزاء Fe مهاجرت Fe<sup>2+</sup> را همراه با سایر عناصر حساس به شرایط اکسایش - کاهش به خارج از سیستم داده است [۱۹].

تغییرات عنصری در زون دگرسانی آرژیلیک (پیشرفت) شامل غنی شدگی در اکسیدهای SiO<sub>4</sub>, L.O.I, SO<sub>3</sub>, Al<sub>2</sub>O<sub>3</sub>, Fe<sub>2</sub>O<sub>3</sub>, CaO, MgO و تهی شدگی در اکسیدهای MnO, Na<sub>2</sub>O و Al<sub>2</sub>O<sub>3</sub> و SiO<sub>4</sub> می‌باشد. بیشترین افزایش را نشان می‌دهند که دلیل آن تشکیل سیلیس (فازهای مختلف)، کائولینیت و سرسیت در این زون است(شکل ۱۱). تهی شدگی عناصر Ca و Na می‌تواند در ارتباط با دگرسانی پلازیوکلاز، بیوتیت و آمفیبول صورت گرفته باشد. غنی شدگی SiO<sub>4</sub> به واسطه افزایش سیلیس ناشی از آب‌شویی سایر تشکیل‌دهنده‌ها و نیز افزایش سیلیس به صورت رگه‌های کوارتزی است. غنی شدگی LOI در این زون نیز می‌تواند به دلیل تشکیل کانیهای ثانویه آب‌دار بهویژه کانیهای رسی باشد. کاهش جرم می‌تواند به واسطه شرایط احیایی محلی بوده باشد که اجزاء Fe مهاجرت Fe<sup>2+</sup> را همراه با سایر عناصر حساس به شرایط اکسایش - کاهش به خارج از سیستم داده است [۱۹].



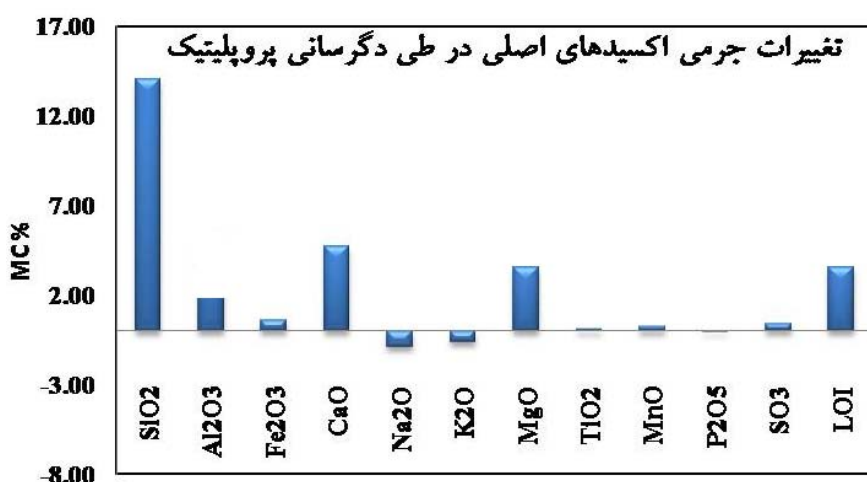
شکل ۱۱. تغییرات جرم اکسیدهای اصلی در زون دگرسانی آرژیلیک پیشرفتہ نسبت به سنگ اولیه.



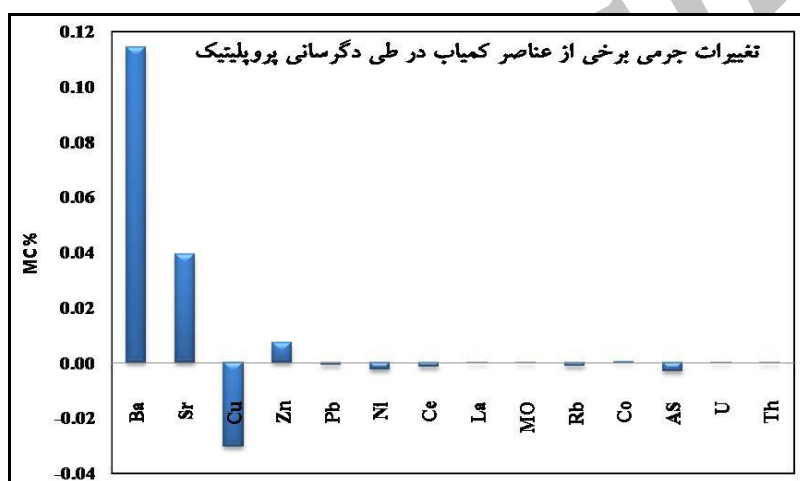
شکل ۱۲. تغییرات جرم برخی از عناصر کمیاب در زون دگرسانی آرژیلیک پیشرفتہ نسبت به سنگ اولیه.

اپیدوت باشد. همچنین بخشی از غنی شدگی CaO می‌تواند به واسطه تهشیینی کلسیت باشد [۱۹]. در میان عناصر جزئی، عناصر Ba و Sr ، و تا حدودی Zn دارای غنی شدگی و عناصر Cu و Th, U, As, Co, Rb, Mo, La, Co, Ni, Pb دارای تهی شدگی هستند (شکل ۱۴).

نمودار تغییرات جرمی عناصر در زون دگرسانی پروپلیتیک نشانگر غنی شدگی در اکسیدهای Al<sub>2</sub>O<sub>3</sub> , SiO<sub>4</sub> , Fe<sub>2</sub>O<sub>3</sub> و CaO و تهی شدگی در اکسیدهای Na<sub>2</sub>O و MgO است(شکل ۱۳). کاهش K<sub>2</sub>O و Na<sub>2</sub>O می‌تواند به دلیل دگرسانی کانیهایی مانند بیوتیت و فلدوپارها باشد. غنی شدگی MgO و CaO, Al<sub>2</sub>O<sub>3</sub>, SiO<sub>4</sub> نیز در این زون می‌تواند به واسطه تشکیل کانیهای آلومینوسیلیکاته از جمله کلریت و



شکل ۱۳. تغییرات جرم اکسیدهای اصلی در زون دگرسانی پروپلیتیک نسبت به سنگ اولیه.



شکل ۱۴. تغییرات جرم برشی از عناصر کمیاب در زون دگرسانی پروپلیتیک نسبت به سنگ اولیه.

فرآیند دگرسانی، تخریب فلدسپارها و تشکیل کانیهای رسی (به ویژه کائولینیت) است. کمترین مقدار CIA مربوط به زون پروپلیتیک است. برای ارزیابی شدت دگرسانی (تخریب) کانیهای تشکیل‌دهنده سنگ میزبان منطقه، همچنین از روش محاسبه شاخص دگرسانی کانی‌شناختی MIA (Mineralogical Index of Alteration) (ارائه شده توسط [۲۳] استفاده شد(جدول ۲).

MIA =  $2 \times (CIA - 50)$  بر اساس مقدار MIA شدت هوازدگی (یا دگرسانی) را به ۴ دسته کلی به شرح زیر تقسیم شده است [۲۳]: (الف) نمونه سالم بدون تأثیر هوازدگی (٪۰-۰)، (ب) شدت هوازدگی ضعیف (٪۴۰-۲۰)، (پ) شدت هوازدگی متوسط (٪۶۰-۴۰)، (ج) شدت هوازدگی شدید تا بسیار شدید (٪۱۰۰-۶۰).

شاخص شیمیایی و کانی‌شناختی دگرسانی شدت دگرسانی از طریق محاسبه شاخص شیمیایی دگرسانی (CIA) با استفاده از نسبتهای مولکولی محاسبه می‌شود [۲۱] و [۲۲]. محاسبه CIA اندازه گیری نسبت  $Al_2O_3$  در مقابل اکسیدهای ناپایدار شیمیایی ( $Na_2O + K_2O + CaO$ ) می‌باشد.

$CIA = Al_2O_3 / (Al_2O_3 + Na_2O + K_2O + CaO)$  به طور کلی فرآیندهای دگرسانی و هوازدگی به خارج نمودن عناصر قابل حل و افزایش مقدار CIA منجر می‌شود. با افزایش CIA مقدار  $Al_2O_3$  افزایش  $Na_2O + K_2O + CaO$  کاهش می‌یابد. در دگرسانیهای مورد مطالعه، مقدار CIA در محدوده ۶۰/۷۰ تا ۸۸/۸۲ تغییر می‌کند(جدول ۲). بالاترین مقدار CIA مربوط به زون آرژیلیک پیشرفت‌ه است که غالباً به دلیل شدت

نشانگر شدت دگرسانی شدید تا بسیار شدید در این زونهاست. زون پروپلیتیک از این نظر، شدت دگرسانی ضعیفی را نشان می‌دهد.

مقدار MIA برابر ۱۰۰ درصد، نشان‌دهنده تبدیل کامل کانیهای اولیه به کانیهای ثانویه است. بیشترین مقدار MIA به زونهای دگرسانی سیلیسی و آرژیلیک پیشرفتہ تعلق دارند که

جدول ۲. مقادیر CIA و MIA در زونهای دگرسانی منطقه.

	Silica Alteration	Advanced argillic Alt.	Propylitic Alt.
CIA	۵۸/۳۲-۷۷/۷۸	۸۸/۸۲	۶۰/۷۰
MIA	۷۰/۶۴-۵۵/۵۶	۷۷/۶۳	۲۱/۴۰

رگه-رگچه‌های سیلیسی تأخیری است. در زون پروپلیتیک، عناصر منیزیم، کلسیم، مواد فرار (آب) و تا حدودی سیلیسیم افزایش، و عناصر سدیم و پتاسیم کاهش یافته‌اند. شواهد ژئوشیمیایی و کانی‌شناسی نشان می‌دهند که آب‌شویی گرمابی کانیهای اولیه سنگهای مسیر محلولهای گرمابی، و تشکیل تجمعات کوارتز، کائولینیت، باریت، پیریت، آلونیت، ژیپس و سرسیت در زون آرژیلیک پیشرفتہ و تجمعات کلریت، اپیدوت و کلسیت در زون پروپلیتیک مسؤول ایجاد تغییرات شیمیایی یاد شده‌است. با دور شدن از مرکز سیستم کانی‌سازی ماهیت دگرسانی تغییر می‌کند. به اعتقاد [۲۴]، عوامل مختلفی همچون دما، فشار، ترکیب سنگ اولیه، ترکیب شیمیایی اولیه محلول گرمابی و نسبت  $\text{H}_2\text{O}$ ، ماهیت و مقدار کانیها را در تجمعات دگرسانی مشخص می‌کنند.

بررسی شاخص شیمیایی دگرسانی (CIA) و شاخص کانی‌شناختی دگرسانی (MIA) در زونهای دگرسانی گویای شدت فرآیندهای دگرسانی در زونهای سیلیسی و آرژیلیک پیشرفتہ است. آب‌شویی شدید کانیهای اولیه همچون فلدسپار، آمفیبول، بیوتیت و سولفیدها توسط محلولهای با pH پایین و تشکیل فازهای مختلف سیلیس، کائولینیت و سرسیت در این زونها در حین فرآیندهای کانی‌سازی و دگرسانی سبب پیدایش چنین تغییراتی شده است. بررسی ژئوشیمیایی تغییرات جرم عناصر در زونهای دگرسانی همراه با بررسی کانی‌شناسی می‌تواند در شناخت ماهیت محلولهای گرمابی و شرایط کانی‌سازی مفید واقع شود. افزون بر آن، توسعه روشهایی برای شناخت زونهای دگرسانی می‌تواند راهنمای ارزشمندی در شناسایی مناطق کانه‌دار و طراحی برنامه‌های اکتشافی باشد.

برداشت  
منطقه مسجدداغی سیستمهای کانی‌سازی جالب توجهی از مس پورفیری (نوع دیوریتی) و طلای اپیترمالی را به نمایش می‌گذارد. کانی‌سازی طلای اپیترمالی حالت تأخیری داشته و به فرم رگهای سنگهای آتش‌فشانی با ترکیب آندزیتی-ترکیب آندزیتی میزبان را قطع می‌کند. این کانی‌سازی با فرآیند دگرسانی وسیعی همراه است، به طوری که سبب پیدایش زونهای مختلف دگرسانی با حالت منطقه‌ای شده است. زون مرکزی سیلیسی شامل منطقه‌ای به شدت برخی است که بیشترین تمرکز طلا را با خود به همراه دارد. این زون عمدتاً از کوارتز (به همراه کالسدوئن)، باریت و سولفید تشکیل می‌یابد. به سمت حاشیه زون آرژیلیک پیشرفتہ با فراوانی کانیهای کائولینیت، سرسیت، آلونیت به همراه تورمالین و کوارتز جای دارد. زونهای آرژیلیک حدواتسط و پروپلیتیک (کلریتی) در فاصله دورتری از مرکز سیستم واقع هستند.

شرایط تشکیل و ترکیب کانی‌شناسی هر کدام از این دگرسانیها با دیگری متفاوت است. تغییرات جرمی عناصر در سنگهای دگرسان نسبت به سنگهای نادگرسان انعکاسی از تغییرات کانی‌شناسی دگرسانی است. از نظر ژئوشیمیایی زون دگرسانی سیلیسی با غنی شدگی سیلیسیم و تا حدودی آلومینیم و پتاسیم و تهی شدگی سدیم، منیزیم و کلسیم شناخته می‌شود. همچنین عناصر فلزی باریم، روبيدیم، استرانسیوم و مس، دارای غنی شدگی هستند. در زون آرژیلیک پیشرفتہ، عناصر پتاسیم، سیلیسیم، آلومینیم، منیزیم و آب (در قالب کانیهای آب‌دار) دارای غنی شدگی، و عناصر کلسیم، آهن، سدیم و منگنز، و نیز عناصر فلزی باریم، روبيدیم و استرانسیوم دارای تهی شدگی هستند. افزایش سیلیسیم در این زون احتمالاً به علت حضور

*groundwater transport at Mt. Enta volcano (sicily", Geochimica et Cosmochimica Acta Vol. 64(11), 2000, pp. 1827-1841*

[13] Terakado, Y., Fujitani, T., "Behaviour of the rare earth elements and other trace elements during interactions between acidic hydrothermal solutions and silicic volcanic rocks", southweastern Japan, *Geochimica et Cosmochimica Acta*, Vol 62(11), 1998, pp. 1903-1917.

[14] Gresens, R.L., "Composition- volume relationships of metasomatism", *Chemical Geology*, Vol. 2, 1967, pp.47-55.

[15] Grant, J.A., "The isocon diagram- a simple solution to Gresens equation for metasomatic", *Economic Geology* Vol. 81, 1986, pp.1976-1982.

[16] MacLean, W.H., Kranidiotis, P., "Immobile elements as monitors of mass transfer in hydrothermal alteration: Phelps Dodge massive sulfide deposit, Matagami, Quebec", *Economic Geology* Vol. 82, 1987,pp. 951-962.

[17] Nesbitt, H.W., Markovics, G., "Weathering of granodioritic crust, long- term storage of elements in weathering profiles and petrogenesis of siliciclastic sediments", *Geochimica et Cosmochimica Acta*, Vol 61, 1997, pp. 1653-1670.

[18] Fulignati, P., Gioncad, A., Sbrana, A., "Rare earth element (REE) behaviour in the alteration facies of the active magmatic- hydrothermal system of volcano (Aeolian Islands, Italy)", *Journal of Volcanology and Geothermal Research*, Vol. 88, 1999, pp. 325-342.

[19] Kirschbaum, A., Martinez, E., Pettinari, G., Herrero, S., "Weathering profiles in granites, Sierra Norte (Cordoba, Argentina)", *Journal of south American Earth Sciences*, Vol. 19, 2005, pp. 479-493.

[20] Bache, W., Peucker-Ehrenbrink, B., Hart, S.R., Blusztajn, J.S., "Geochemistry of hydrothermally altered oceanic crust: DSDP/ODP Hole 504B- Implications for seawater-crust exchange budgets and Sr- and Pb isotopic evolution of the mantle", *Geochem. Geophys. Geosys.*, Vol. 4(3), 2003. 8904. doi: 10.1029/2002GC000419.

[21] Nesbitt, H.W., Young, G.M., "Early proterozoic climates and plate motions inferred from major element chemistry of lutites, *Nature*", Vol. 279, 1982, pp. 715-717.

#### مراجع :

- [۱] نبوی، م.ح، "دیباچه ای بر زمین‌شناسی ایران"، انتشارات سازمان زمین‌شناسی کشور، ۱۳۵۵
- [۲] آقاباتی، سید علی، "زمین‌شناسی ایران"، انتشارات سازمان زمین‌شناسی و اکتشافات معدنی کشور، ۱۳۸۳
- [۳] قربانی، م، "زمین‌شناسی اقتصادی ذخایر معدنی و طبیعی"، موسسه پژوهشی آرین زمین، ۱۳۸۶
- [۴] فرد، م، علی اکبری، ح، محمدی، ب. و سمایی، س، "گزارش نقشه زمین‌شناسی ۱/۱۰۰۰ و حفاریهای انجام گرفته در منطقه مسجد داغی (سیه رود جلفا)", پژوهه اکتشاف مس و طلا در زون ارسباران، سازمان زمین‌شناسی و اکتشافات معدنی کشور، ۱۳۸۴
- [۵] عبدالی اسلاملو، ح، "بررسی ژئوشیمی، دگرسانی و منشأ کانی‌سازی طلا در منطقه سیه رود استان آذربایجان شرقی"، پایان نامه کارشناسی ارشد، دانشگاه پیام نور، مرکز تبریز، ۱۳۸۸.
- [۶] امامعلی پور، ع، عبدالی اسلاملو، ح، و عابدینی، ع، "غیرهای جرمی عنصر طی دگرسانیهای گرمابی مرتبط با کانی‌سازی اپی ترمالی طلا در ناحیه مسجد داغی (شرق جلفا)", دوازدهمین همایش انجمن زمین‌شناسی ایران، ۳۰ بهمن ۱۳۸۷، اهواز.
- [۷] Rollinson, H., "Using geochemical data: evaluation, Presentation", interpretation, Longman Scientific and Technical, 1993, 352pp.,
- [۸] Reyes, A.G., "Petrology of Philippine geothermal systems and The application of alteration mineralogy to their assessment". *Journal of Volcanology and Geothermal Research*, Vol 43, 1990 , pp. 279-309.
- [۹] Brown, P.R.L., "Hydrothermal alteration in active geothermal field Review", *Earth planet Science* 6, 1978.
- [10] Hedenquist, J.W., Arribas , A.Jr. , & Gonzalez-Urien , E., "Exploration for epithermal gold deposits" : *Reviews in Economic Geology*, Vol. 13, 2000, pp. 245-277.
- [11] MacLean, W.H., "Mass change calculations in altered rock series", *Mineralium Deposita* Vol. 25, 1990, pp. 44-49.
- [12] Aiuppa, A., Allard, P., D., Alessandro, W., Michel, A., Parello, F., Treuil, M., valeza, M., "Mobility and fluxes of major elements, minor and trace metals during basalt weathering and

- [24] Barnes, H.L., “*Geochemistry of hydrothermal ore deposits*”, John Wiley-Interscience publication, 3rd edition, 1997, 963p.
- [22] Fedo, C.M., Nesbitt., H.W., Young, G.M., “*Unraveling the effects of potassium metasomatism in sedimentary rocks and paleosols, With implications for paleoweathering conditions and provenance*”, Geology 23, 1995, 921-924.
- [23] Voicu, G., Bardoux, M., Jebrak, M., “*Normative Mineralogical calculations for tropical weathering profiles*”, Winnipeg 96, Ann. Meet., Geol. Asso. Can. Mineral. Assoc. Can. Prog., Vol 21, 1996 , A-69.

Archive of SID